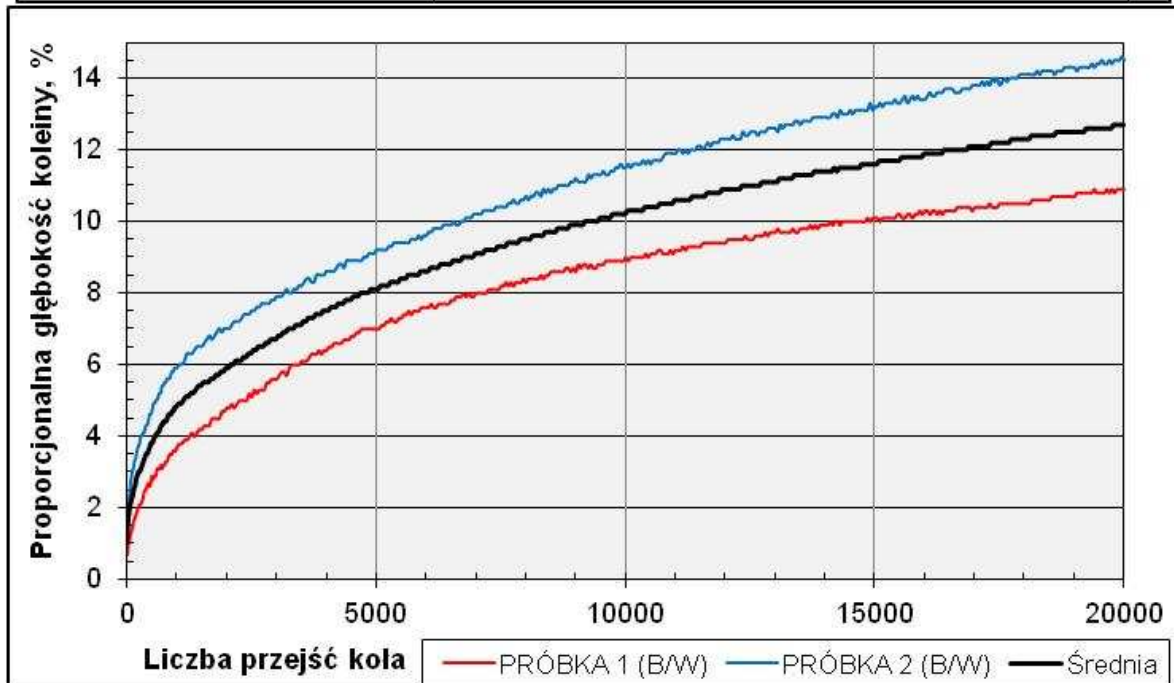
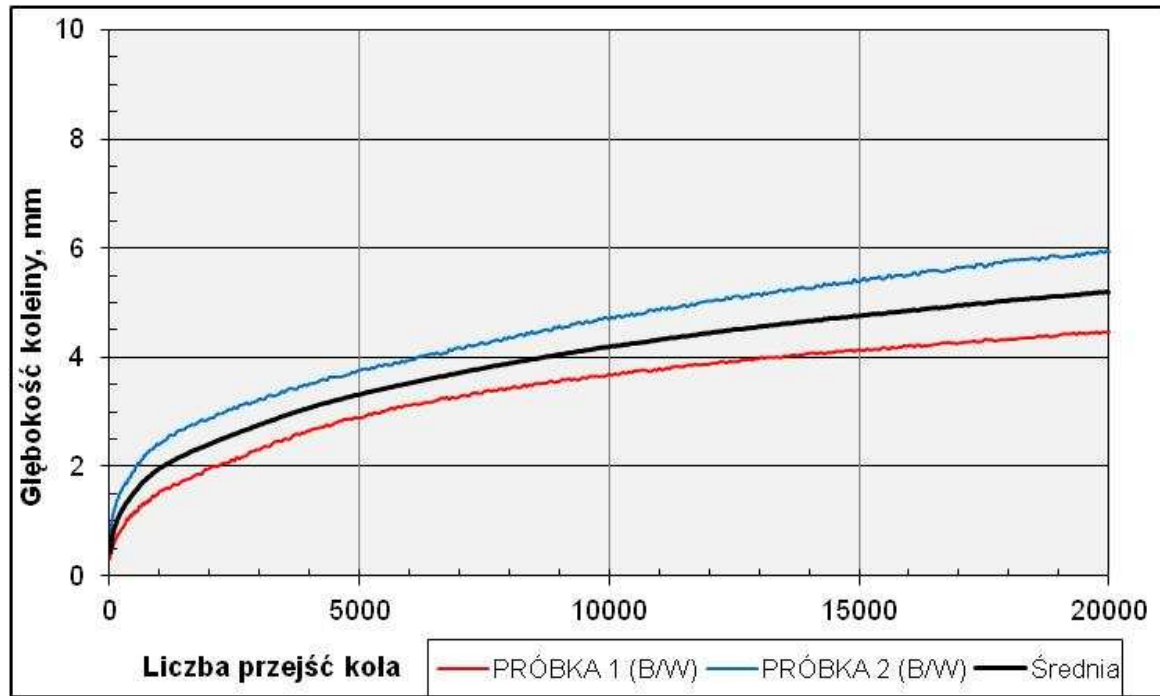


ZAŁĄCZNIK 5

Wyniki badań koleinowania

Wyniki badania koleinowania w małym aparacie SMA11 S 45/80-55 (B/W)

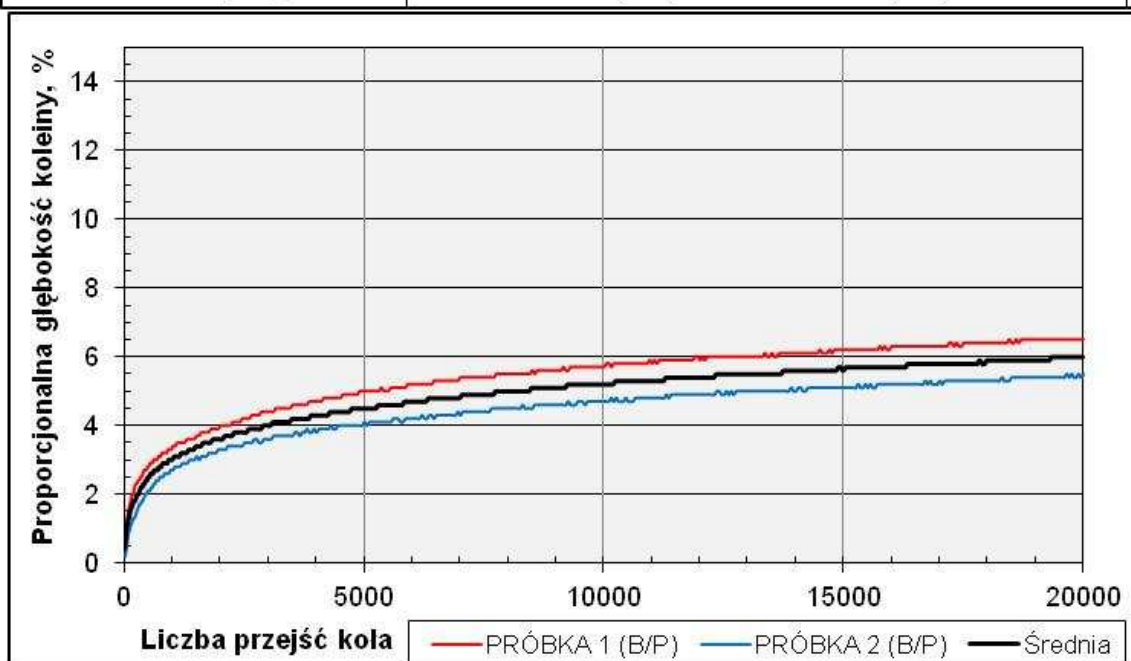
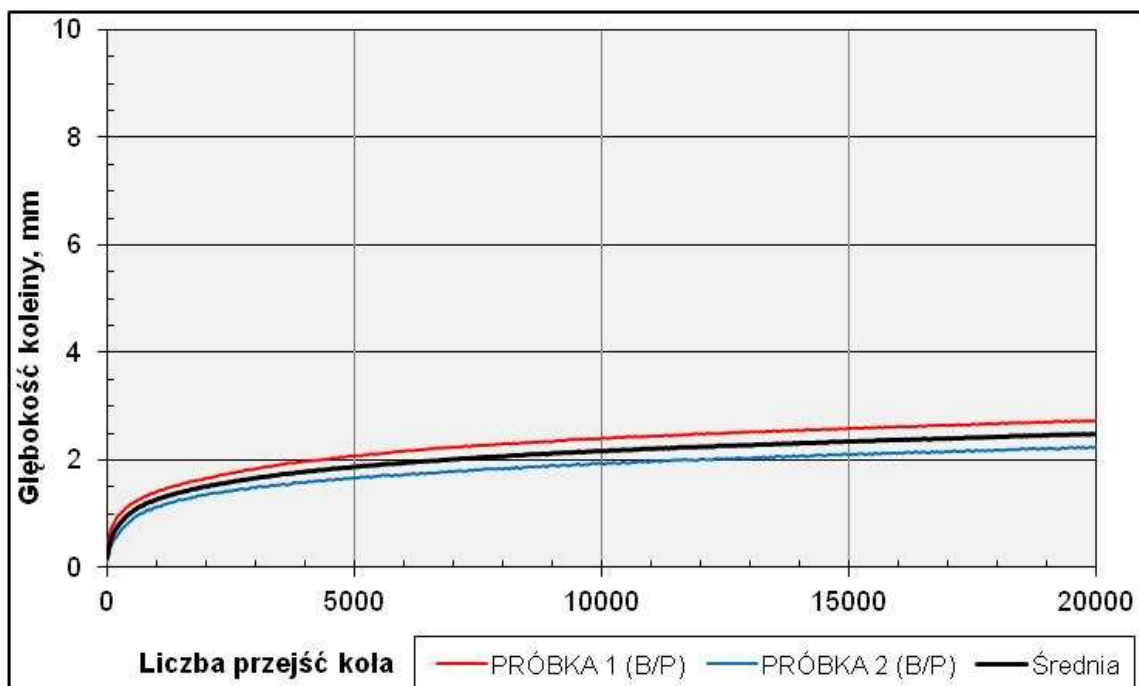
Odporność na deformacje trwałe (metoda B w powietrzu, 60°C, 10000 cykli, % (mm/mm) (wys. próbek 41 mm)			
Cykle (przejścia)	2500 (5000)	5000 (10000)	10000 (20000)
Właściwości			
Głębokość koleiny, mm	3,32	4,20	5,21
PRD, %	8,10	10,24	12,70
WTS _(d10000-d5000) , [mm/1000 cykli]			0,202



Rysunek 1 Przebieg badania koleinowania – mieszanka SMA11 S 45/80-55 (B/W)

Tablica 1. Wyniki badania koleinowania w małym aparacie SMA11 S 45/80-55 (B/P)

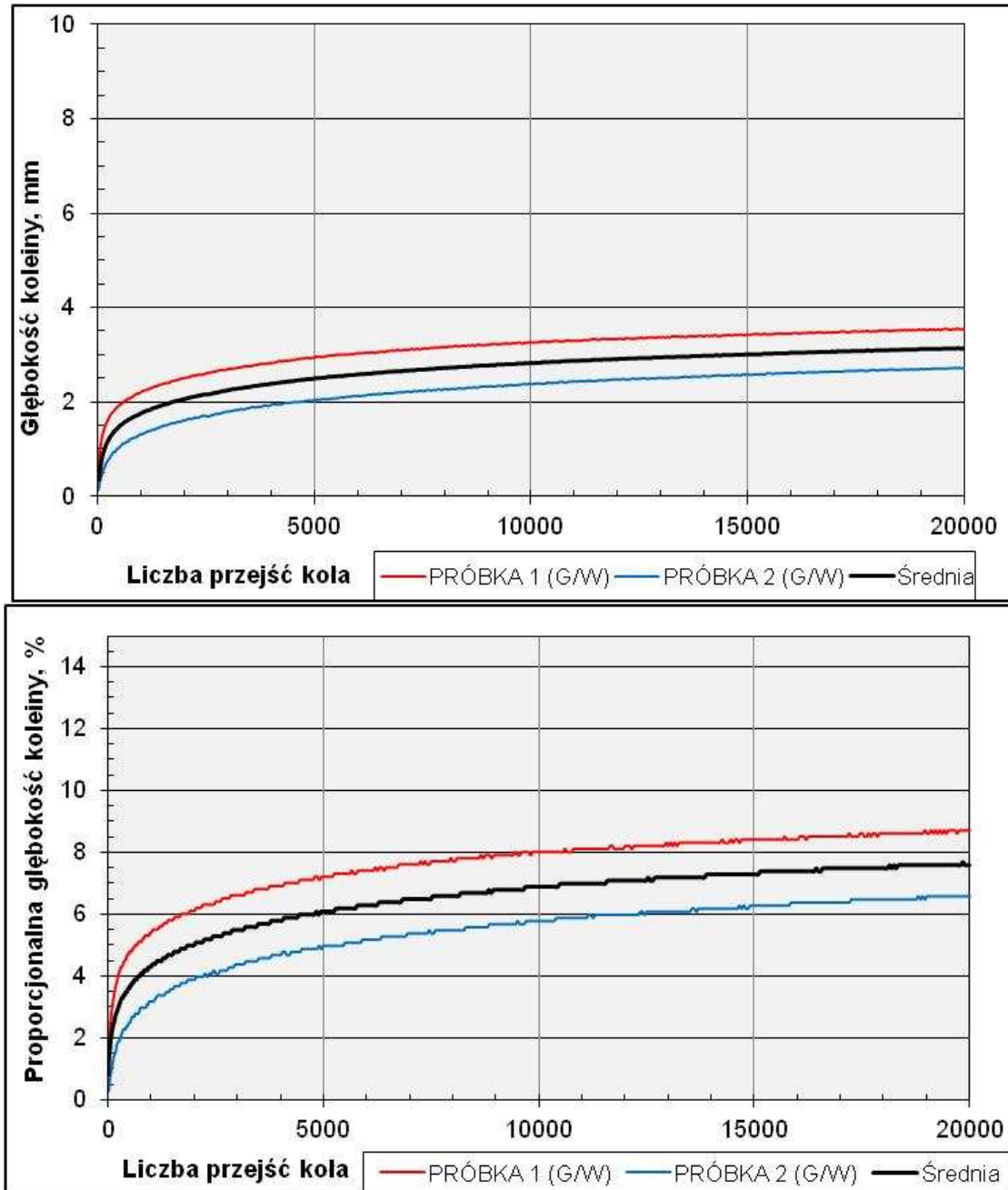
Odporność na deformacje trwałe (metoda B w powietrzu, 60°C, 10000 cykli, % (mm/mm) (wys. próbek 41,7 mm, 41,0 mm)			
Cykle (przejścia)	2500 (5000)	5000 (10000)	10000 (20000)
Właściwości			
Głębokość koleiny, mm	1,87	2,17	2,49
PRD, %	4,48	5,20	6,00
WTS _(d10000-d5000) , [mm/1000 cykli]			0,064



Rysunek 2 Przebieg badania koleinowania – mieszanka SMA11 S 45/80-55 (B/P)

Tablica 2. Wyniki badania koleinowania w małym aparacie SMA11 S 45/80-55 (G/W)

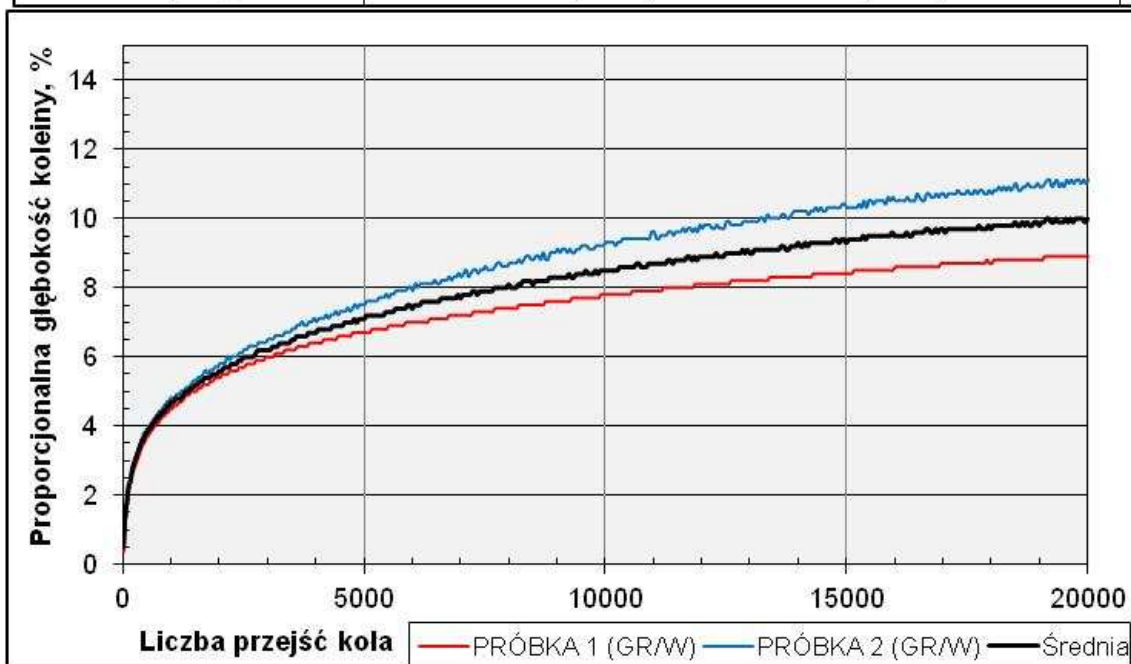
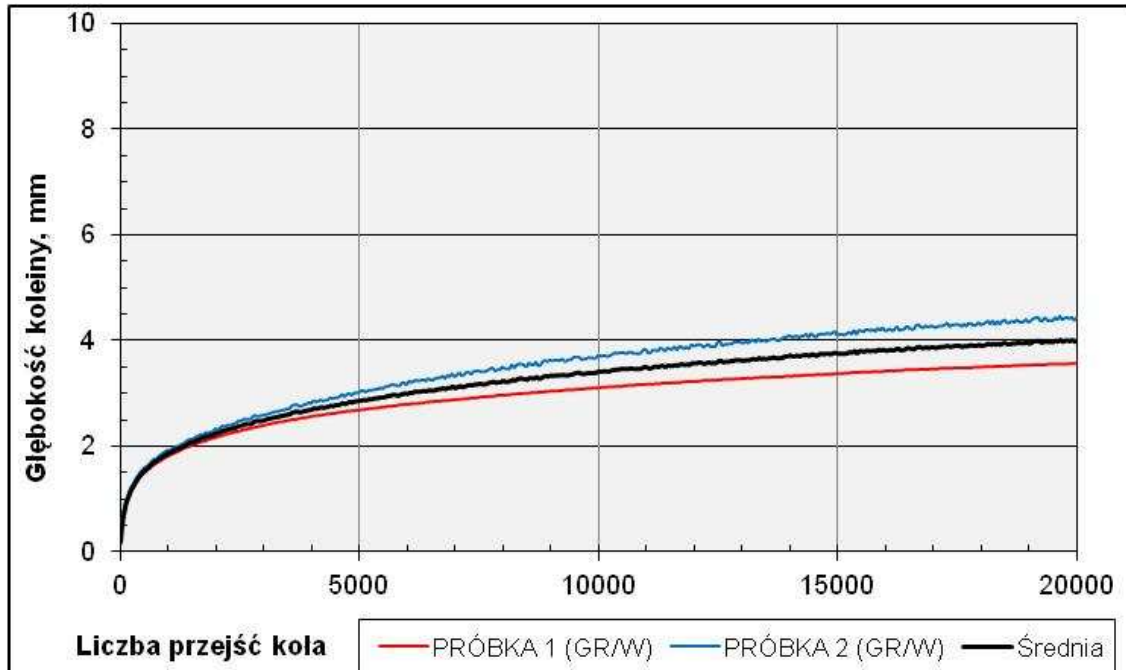
Odporność na deformacje trwałe (metoda B w powietrzu, 60°C, 10000 cykli, % (mm/mm) (wys. próbek 41 mm)			
Cykle (przejścia)	2500 (5000)	5000 (10000)	10000 (20000)
Właściwości			
Głębokość koleiny, mm	2,50	2,83	3,14
PRD, %	8,70	6,90	7,60
WTS _(d10000-d5000) , [mm/1000 cykli]			0,062



Rysunek 3 Przebieg badania koleinowania – mieszanka SMA11 S 45/80-55 (G/W)

Tablica 3. Wyniki badania koleinowania w małym aparacie SMA11 S 45/80-55 (GR/W)

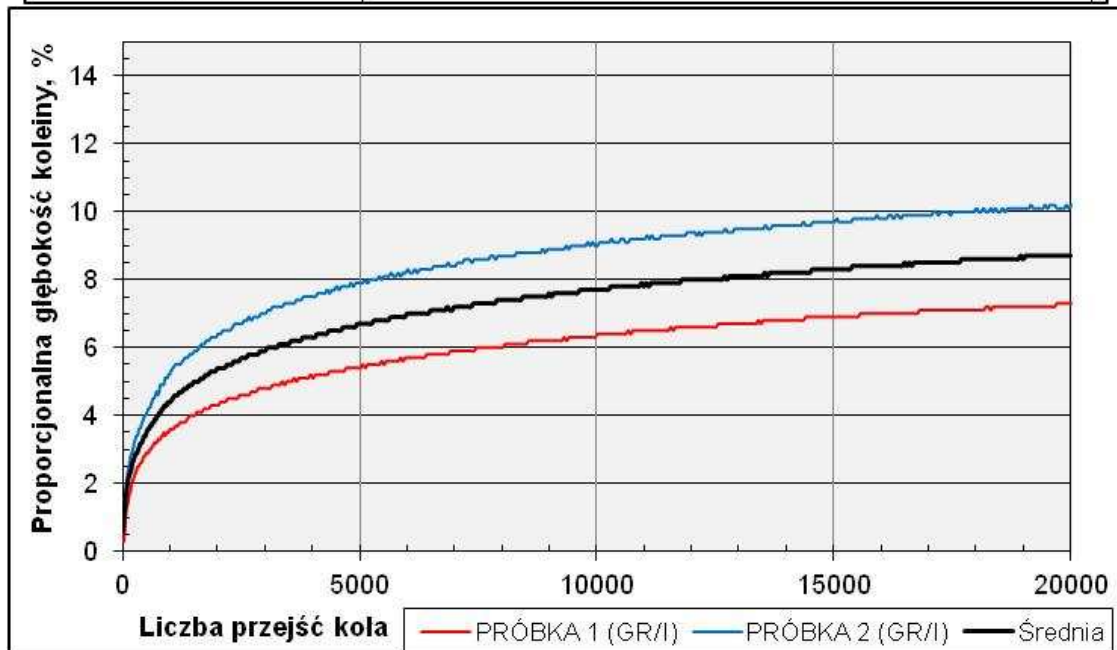
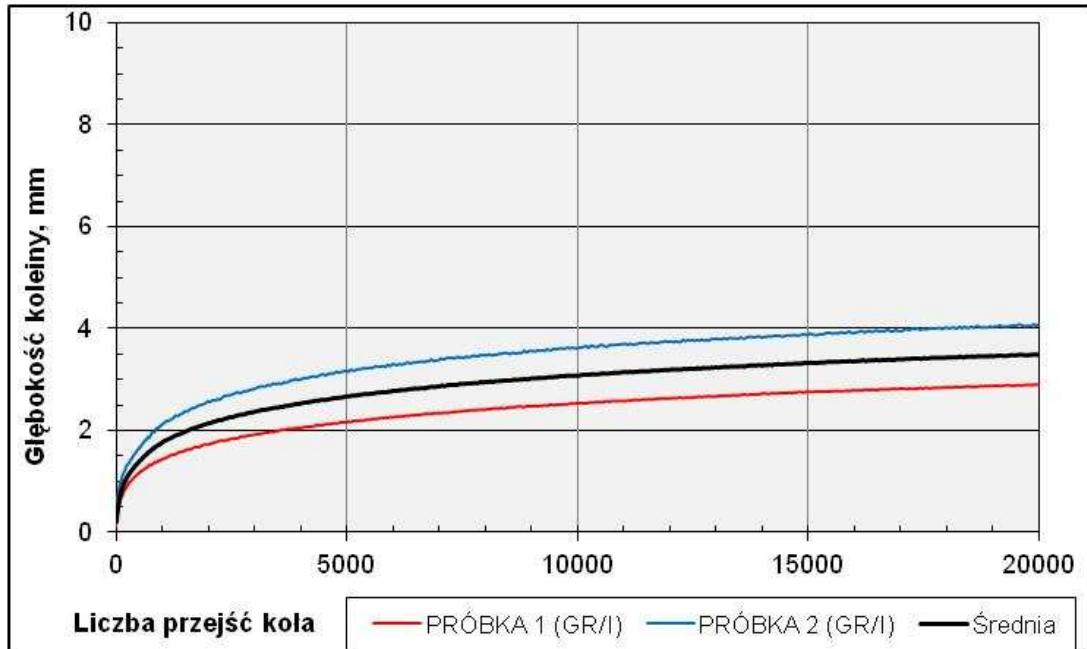
Odporność na deformacje trwałe (metoda B w powietrzu, 60°C, 10000 cykli, % (mm/mm) (wys. próbek 39,8 mm, 40,05 mm)			
Cykle (przejścia)	2500 (5000)	5000 (10000)	10000 (20000)
Właściwości			
Głębokość koleiny, mm	2,85	3,41	3,99
PRD, %	7,16	8,56	10,00
WTS _(d10000-d5000) , [mm/1000 cykli]			0,116



Rysunek 4 Przebieg badania koleinowania – mieszanka SMA11 S 45/80-55 (GR/W)

Tablica 4. Wyniki badania koleinowania w małym aparacie SMA11 S 45/80-55 (GR/I)

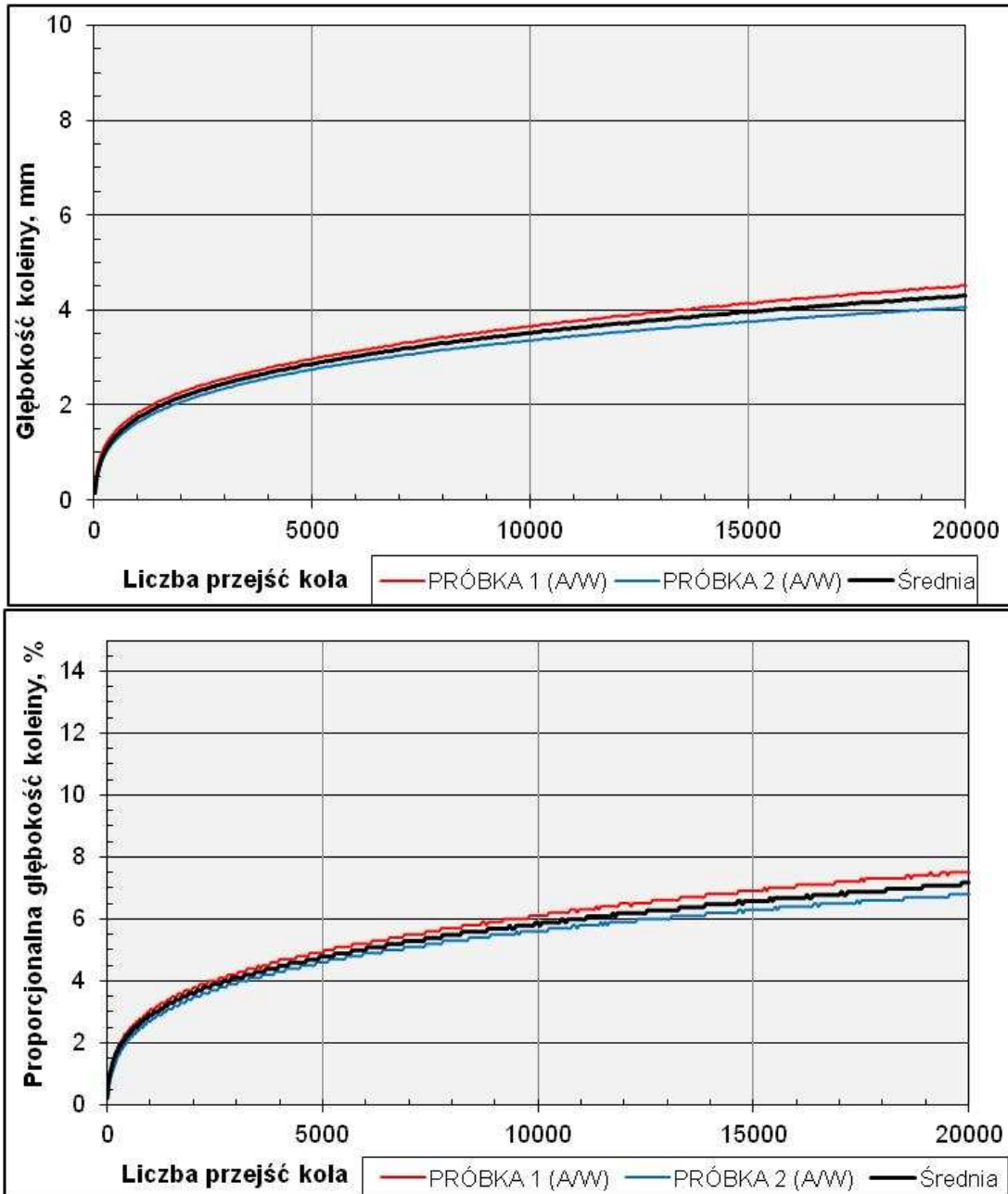
Odporność na deformacje trwałe (metoda B w powietrzu, 60°C, 10000 cykli, % (mm/mm) (wys. próbek 40,08 mm, 40,37 mm)			
Cykle (przejścia)	2500 (5000)	5000 (10000)	10000 (20000)
Właściwości			
Głębokość koleiny, mm	2,67	3,07	3,49
PRD, %	6,66	7,66	8,70
WTS _(d10000-d5000) , [mm/1000 cykli]			0,084



Rysunek 5 Przebieg badania koleinowania – mieszanka SMA11 S 45/80-55 (GR/I)

Tablica 5. Wyniki badania koleinowania w małym aparacie AC16 W 50/70 (A/W)

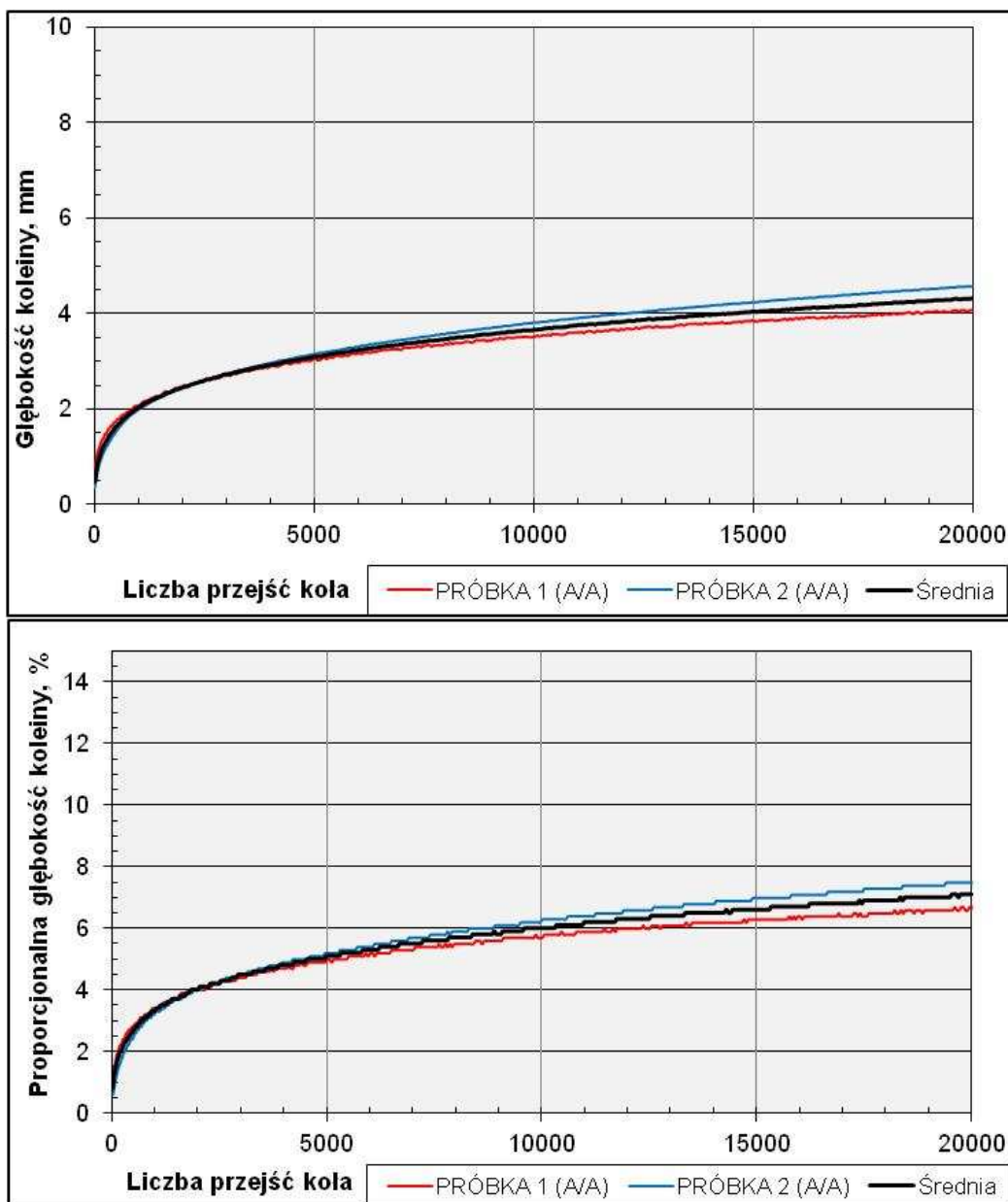
Odporność na deformacje trwałe (metoda B w powietrzu, 60°C, 10000 cykli, % (mm/mm) (wys. próbek 60 mm)			
Cykle (przejścia)	2500 (5000)	5000 (10000)	10000 (20000)
Właściwości			
Głębokość koleiny, mm	2,85	3,51	4,29
PRD, %	4,75	5,85	7,20
WTS _(d10000-d5000) , [mm/1000 cykli]			0,156



Rysunek 6 Przebieg badania koleinowania – mieszanka AC16 W 50/70 (A/W)

Tablica 6. Wyniki badania koleinowania w małym aparacie AC16 W 50/70 (A/A)

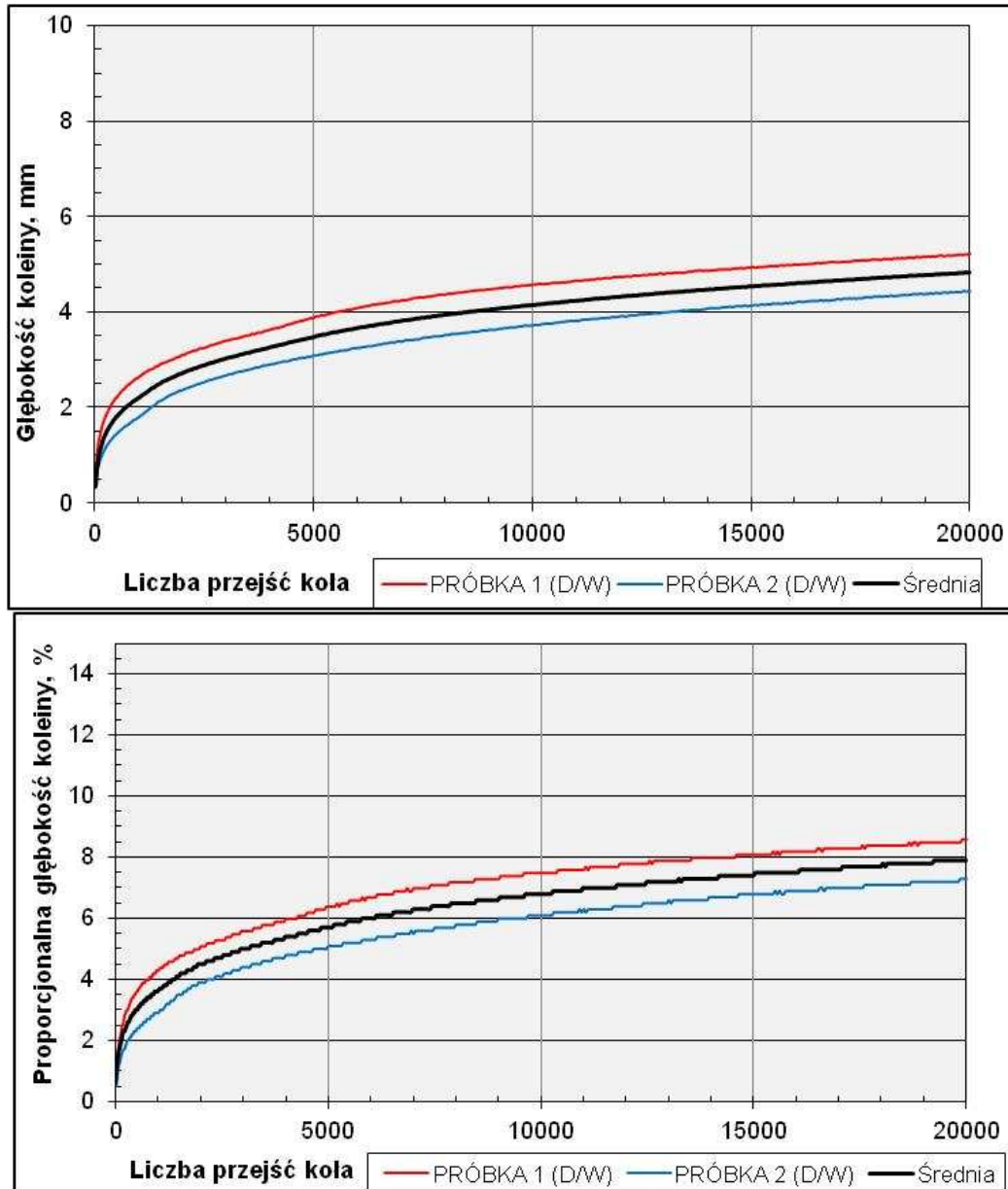
Odporność na deformacje trwałe (metoda B w powietrzu, 60°C, 10000 cykli, % (mm/mm) (wys. próbek 60,75 mm, 60,72 mm)			
Cykle (przejścia)	2500 (5000)	5000 (10000)	10000 (20000)
Właściwości			
Głębokość koleiny, mm	3,10	3,66	4,33
PRD, %	5,10	6,02	7,10
WTS _(d10000-d5000) , [mm/1000 cykli]			0,134



Rysunek 7 Przebieg badania koleinowania – mieszanka SMA11 S 45/80-55 (A/A)

Tablica 7. Wyniki badania koleinowania w małym aparacie AC16 W 50/70 (D/W)

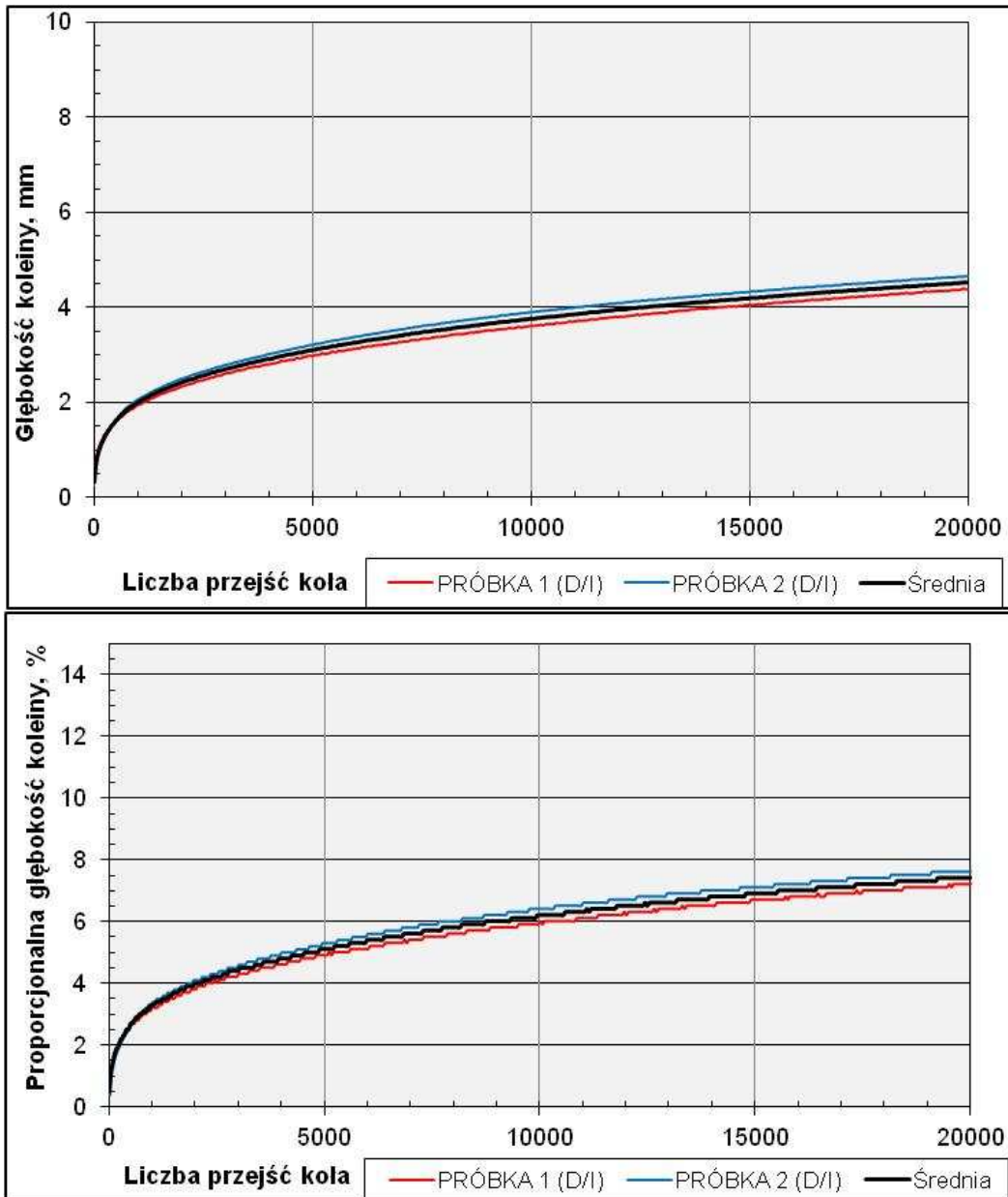
Odporność na deformacje trwałe (metoda B w powietrzu, 60°C, 10000 cykli, % (mm/mm) (wys. próbek 60 mm)			
Cykle (przejścia)	2500 (5000)	5000 (10000)	10000 (20000)
Właściwości			
Głębokość koleiny, mm	3,48	4,15	4,83
PRD, %	5,80	6,92	7,90
WTS _(d10000-d5000) , [mm/1000 cykli]			0,136



Rysunek 8 Przebieg badania koleinowania – mieszanka AC16 W 50/70 (D/W)

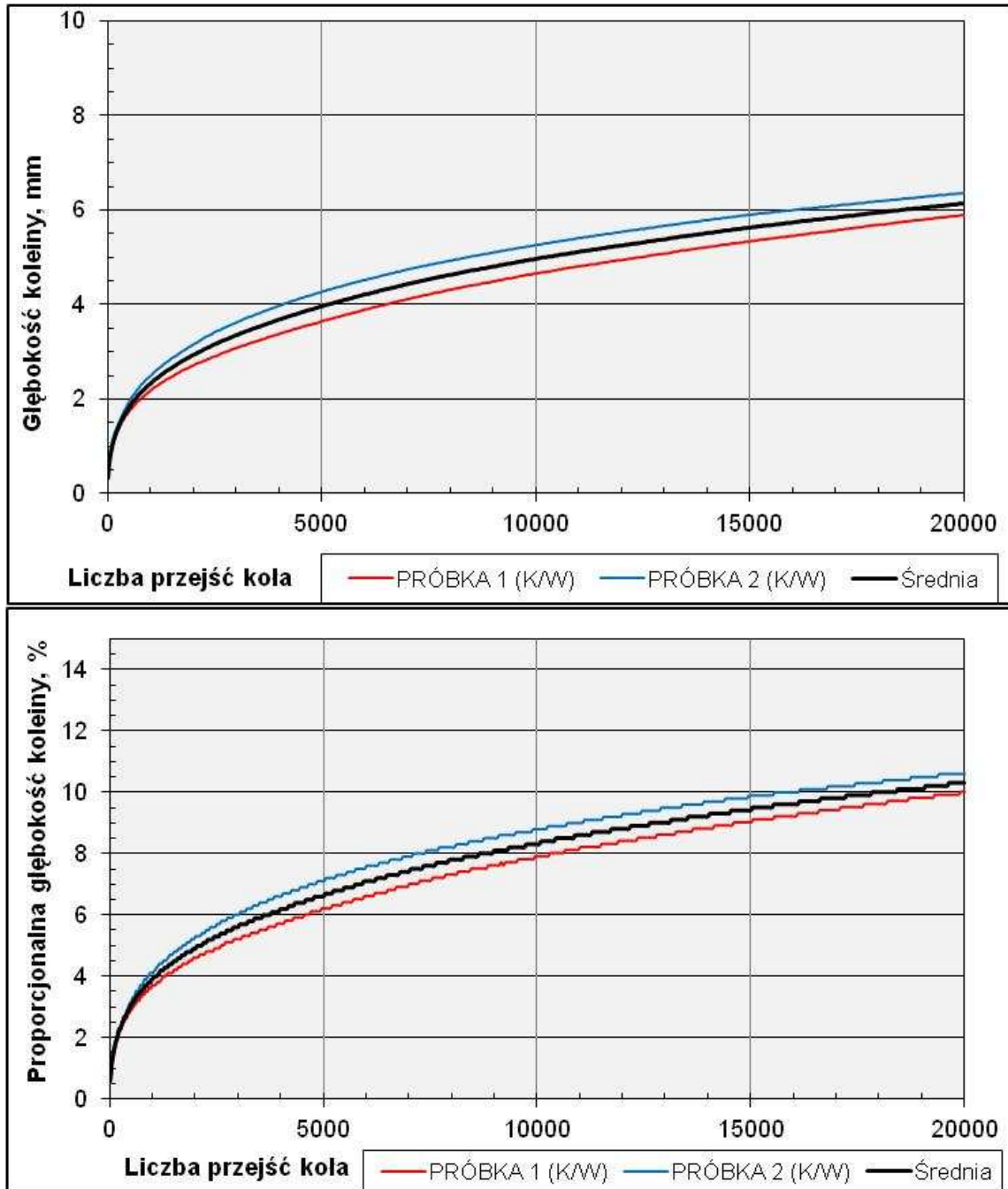
Tablica 8. Wyniki badania koleinowania w małym aparacie AC16 W 50/70 (D/I)

Odporność na deformacje trwałe (metoda B w powietrzu, 60°C, 10000 cykli, % (mm/mm) (wys. próbek 60,97 mm, 60,53 mm)			
Cykle (przejścia)	2500 (5000)	5000 (10000)	10000 (20000)
Właściwości			
Głębokość koleiny, mm	3,10	3,76	4,53
PRD, %	5,08	6,17	7,40
WTS _(d10000-d5000) , [mm/1000 cykli]			0,154

**Rysunek 9** Przebieg badania koleinowania – mieszanka AC16 W 50/70 (D/I)

Tablica 9. Wyniki badania koleinowania w małym aparacie AC16 W 50/70 (K/W)

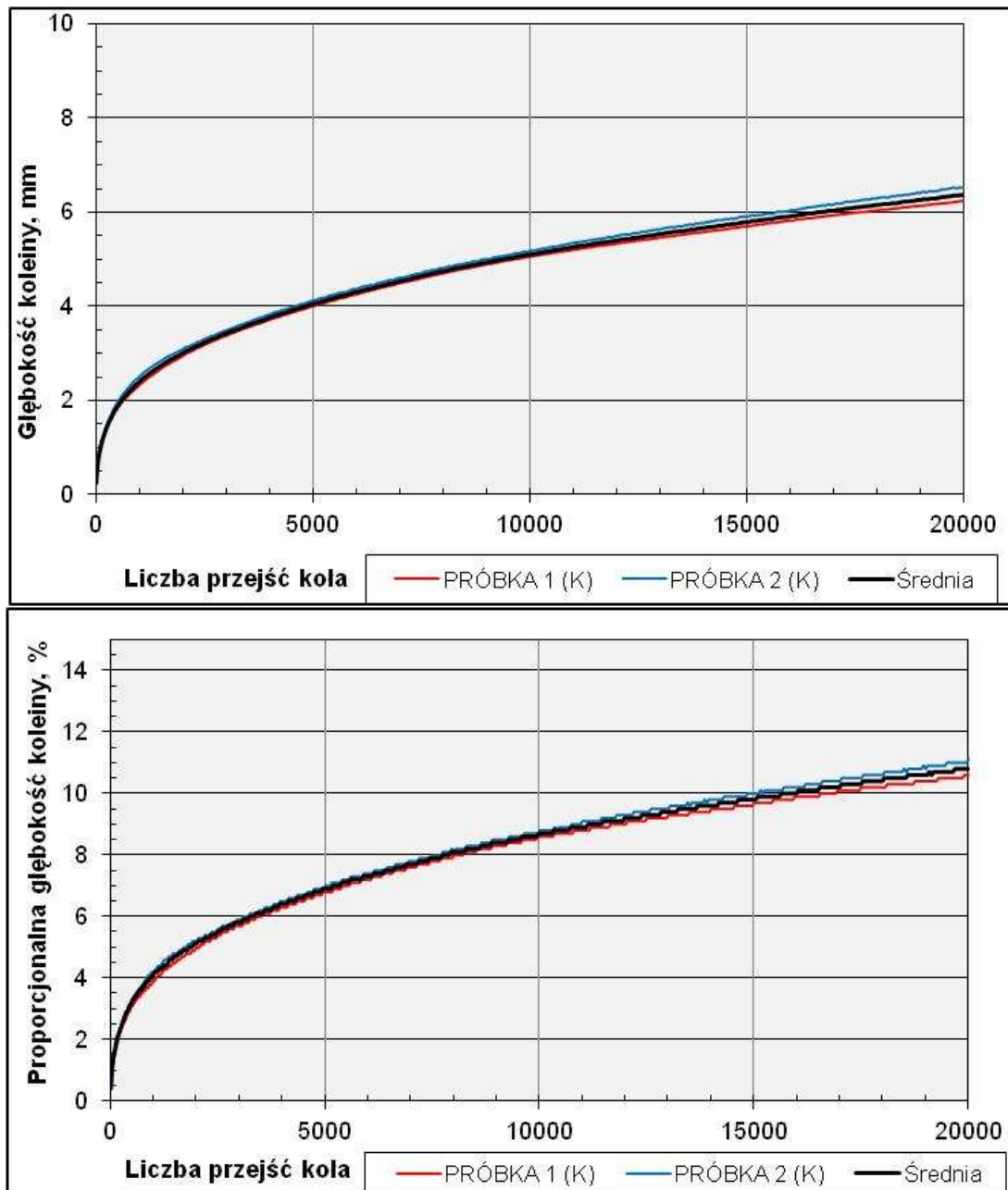
Odporność na deformacje trwałe (metoda B w powietrzu, 60°C, 10000 cykli, % (mm/mm) (wys. próbek 59,24 mm, 59,55 mm)			
Cykle (przejścia)	2500 (5000)	5000 (10000)	10000 (20000)
Właściwości			
Głębokość koleiny, mm	3,96	4,96	6,13
PRD, %	6,68	8,37	10,30
WTS _(d10000-d5000) , [mm/1000 cykli]			0,234



Rysunek 10 Przebieg badania koleinowania – mieszanka AC16 W 50/70 (K/W)

Tablica 10. Wyniki badania koleinowania w małym aparacie AC16 W 50/70 (K)

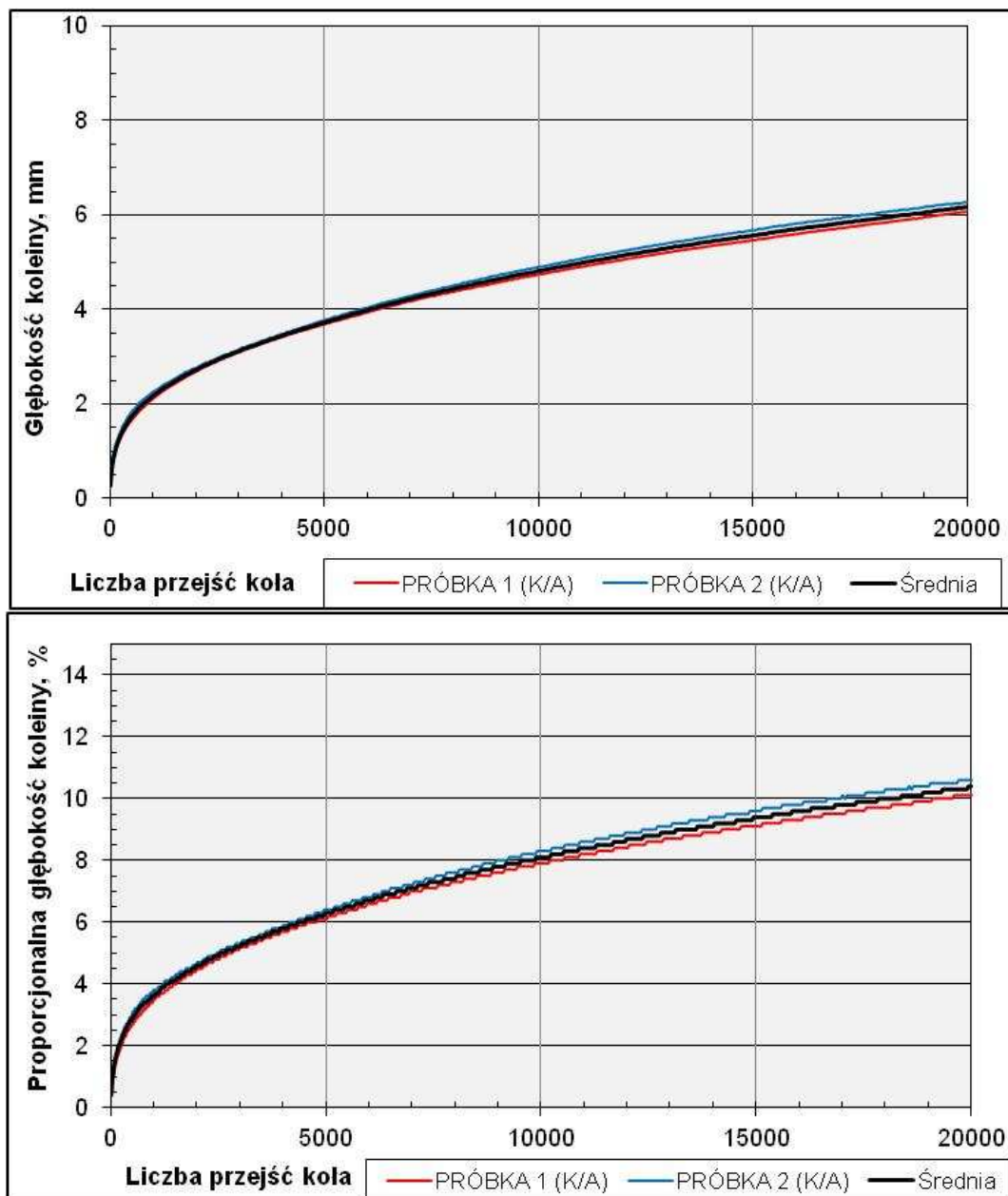
Odporność na deformacje trwałe (metoda B w powietrzu, 60°C, 10000 cykli, % (mm/mm) (wys. próbek 59,29 mm, 59,48 mm)			
Cykle (przejścia)	2500 (5000)	5000 (10000)	10000 (20000)
Właściwości			
Głębokość koleiny, mm	4,06	5,11	6,38
PRD, %	6,85	8,62	10,80
WTS _(d10000-d5000) , [mm/1000 cykli]			0,254



Rysunek 11 Przebieg badania koleinowania – mieszanka AC16 W 50/70 (K)

Tablica 11. Wyniki badania koleinowania w małym aparacie AC16 W 50/70 (K/A)

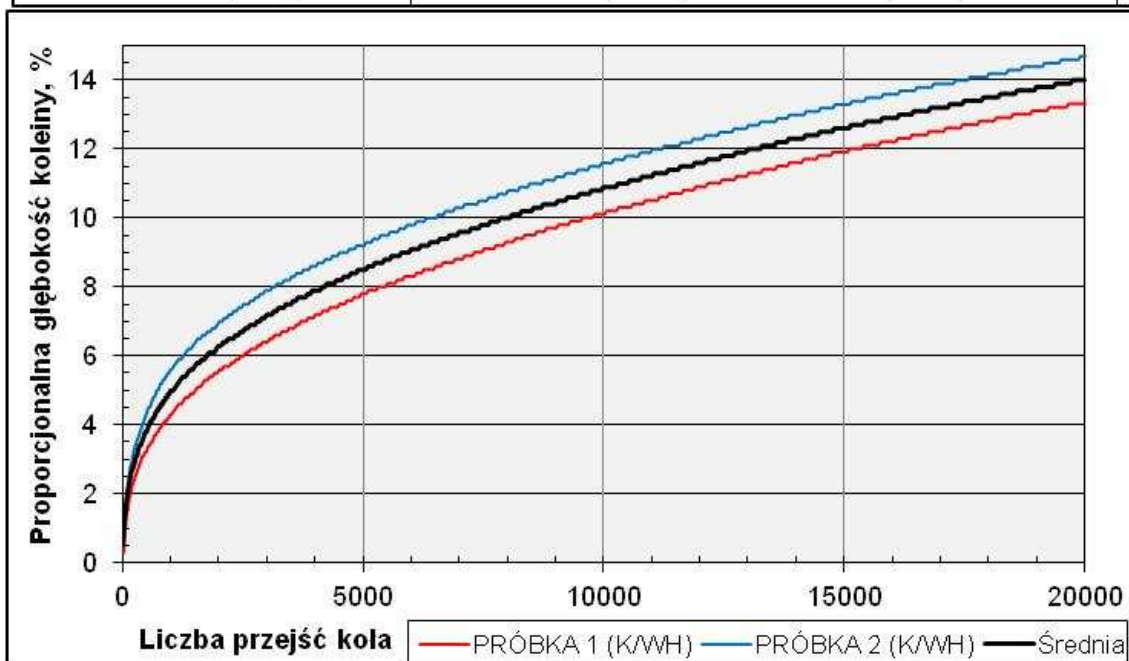
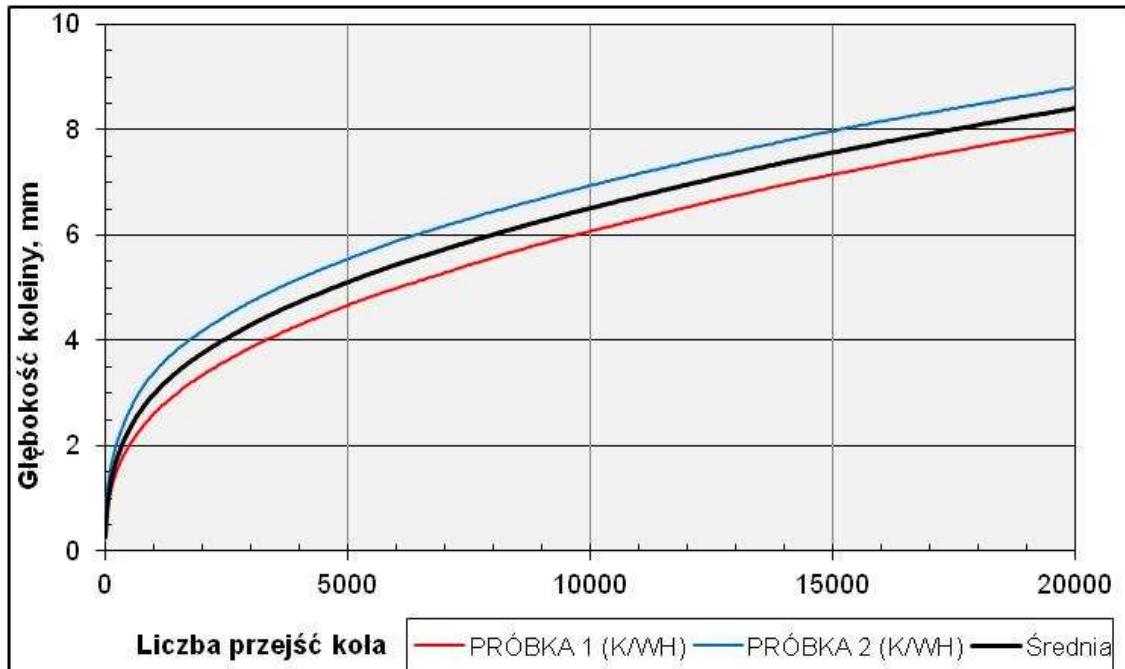
Odporność na deformacje trwałe (metoda B w powietrzu, 60°C, 10000 cykli, % (mm/mm) (wys. próbek 59,58 mm, 59,48 mm)			
Cykle (przejścia)	2500 (5000)	5000 (10000)	10000 (20000)
Właściwości			
Głębokość koleiny, mm	3,72	4,82	6,17
PRD, %	6,24	8,09	10,40
WTS _(d10000-d5000) , [mm/1000 cykli]			0,270



Rysunek 12 Przebieg badania koleinowania – mieszanka AC16 W 50/70 (K/A)

Tablica 12. Wyniki badania koleinowania w małym aparacie AC16 W 50/70 (K/WH)

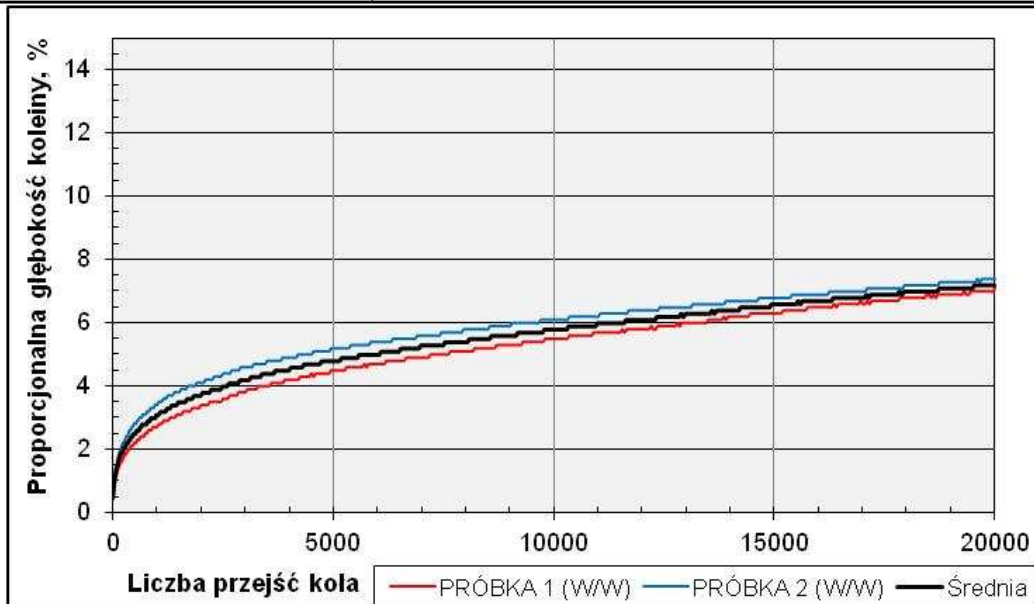
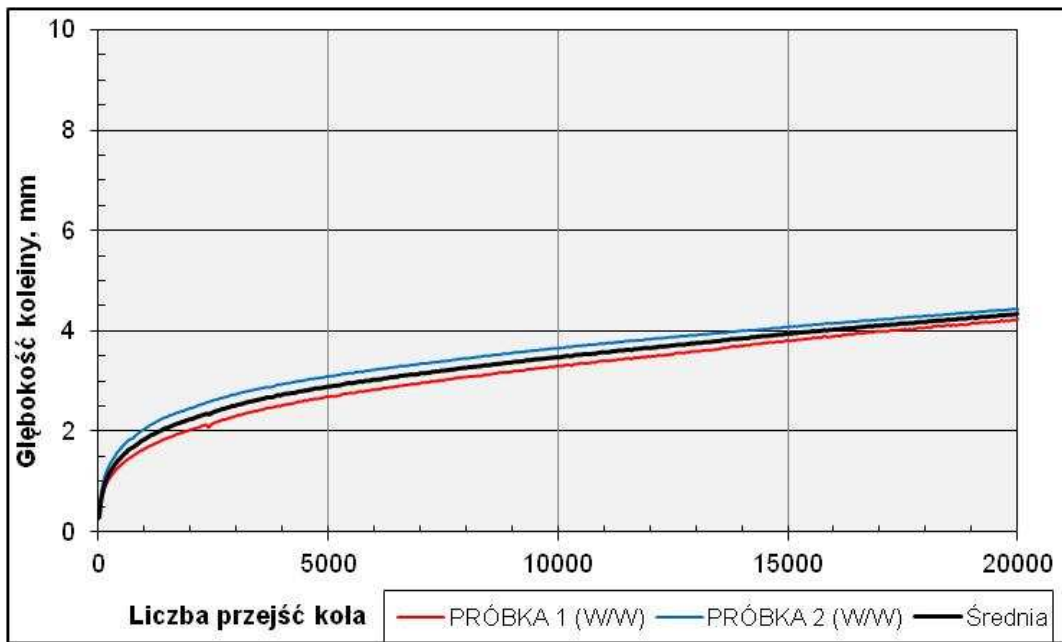
Odporność na deformacje trwałe (metoda B w powietrzu, 60°C, 10000 cykli, % (mm/mm) (wys. próbek 59,87 mm, 60,43 mm)			
Cykle (przejścia)	2500 (5000)	5000 (10000)	10000 (20000)
Właściwości			
Głębokość koleiny, mm	5,10	6,51	8,41
PRD, %	8,52	10,87	14,00
WTS _(d10000-d5000) , [mm/1000 cykli]			0,380



Rysunek 13 Przebieg badania koleinowania – mieszanka AC16 W 50/70 (K/WH)

Tablica 13. Wyniki badania koleinowania w małym aparacie AC22 P 35/50 (W/W)

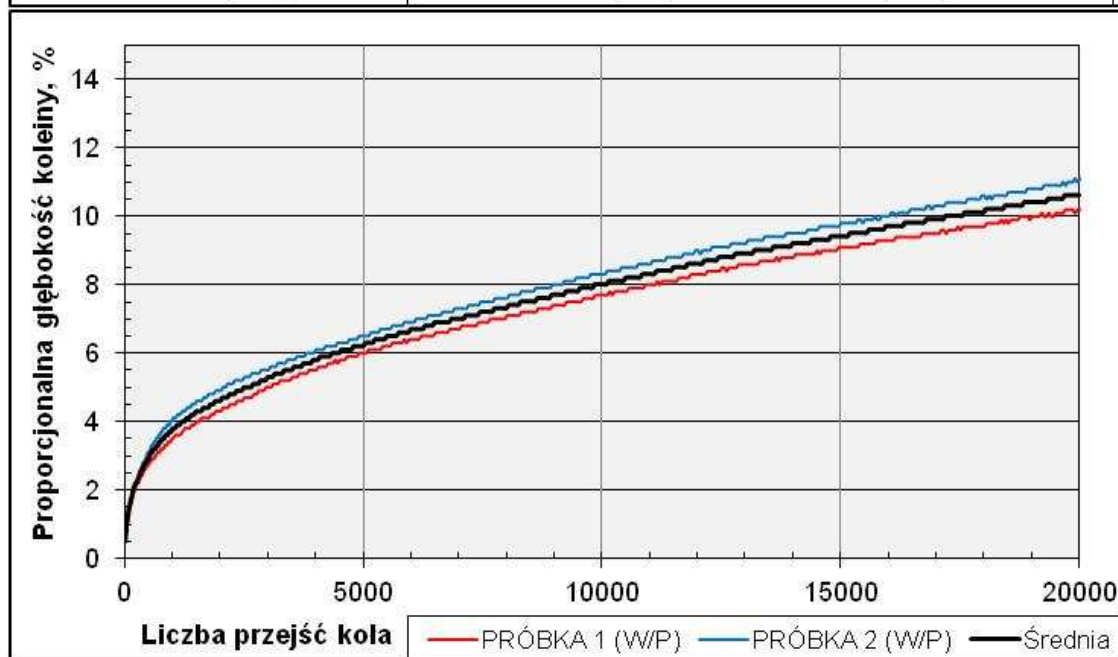
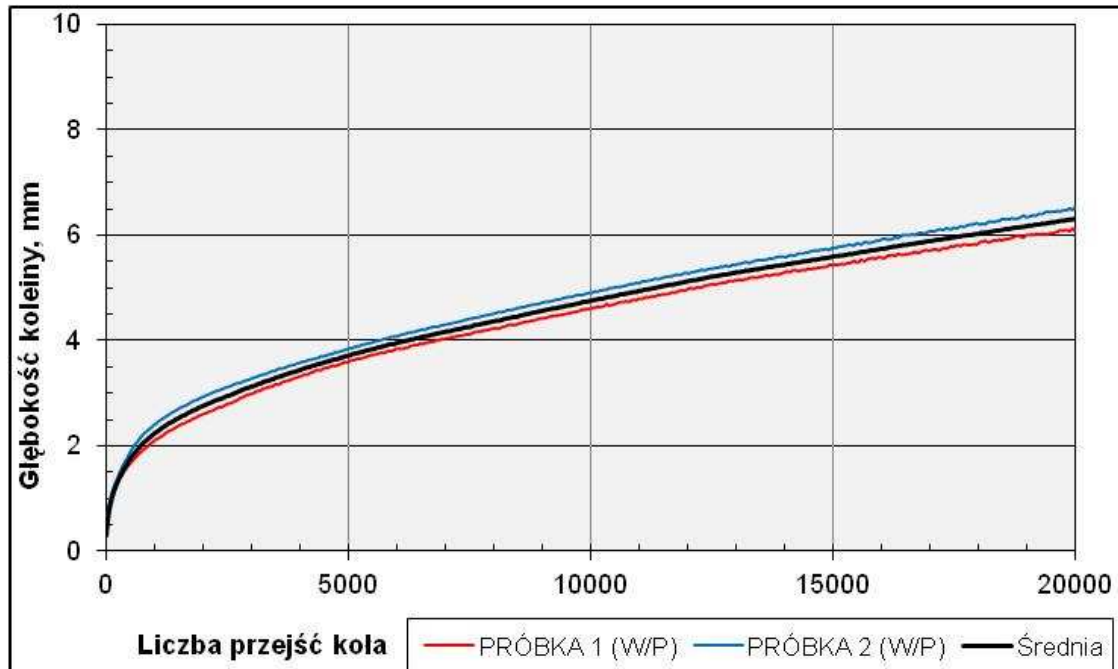
Odporność na deformacje trwałe (metoda B w powietrzu, 60°C, 10000 cykli, % (mm/mm) (wys. próbek 60 mm)			
Cykle (przejścia)	2500 (5000)	5000 (10000)	10000 (20000)
Właściwości			
Głębokość koleiny, mm	2,89	3,47	4,33
PRD, %	4,82	5,78	7,20
WTS _(d10000-d5000) , [mm/1000 cykli]			0,172



Rysunek 14 Przebieg badania koleinowania – mieszanka AC22 P 35/50 (W/W)

Tablica 14. Wyniki badania koleinowania w małym aparacie AC22 P 35/50 (W/P)

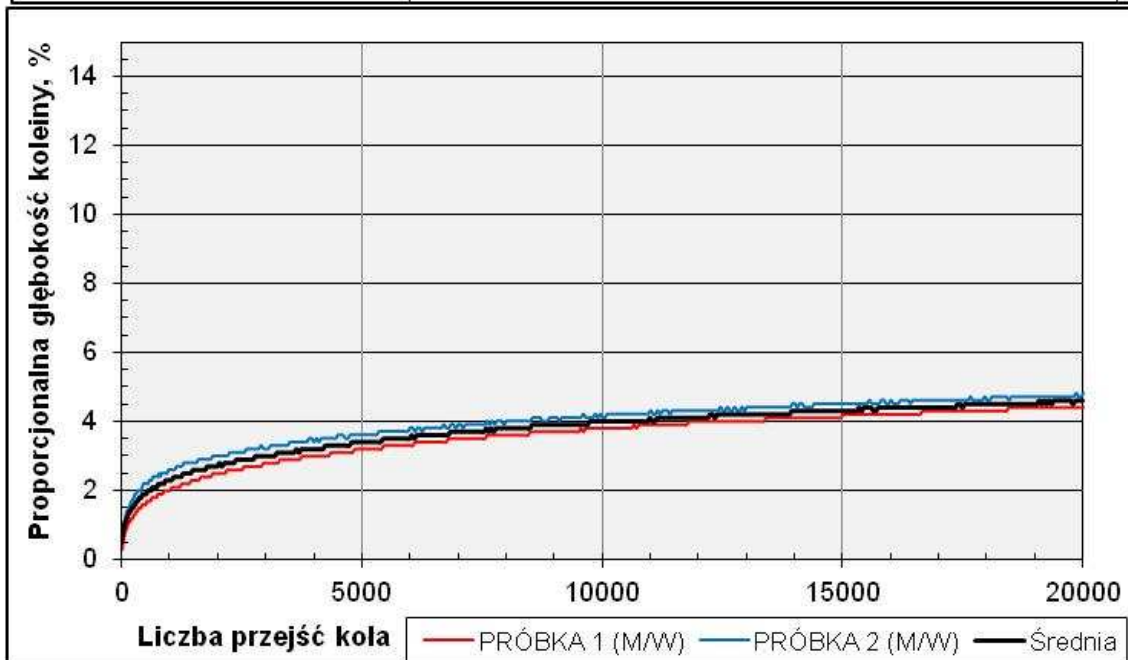
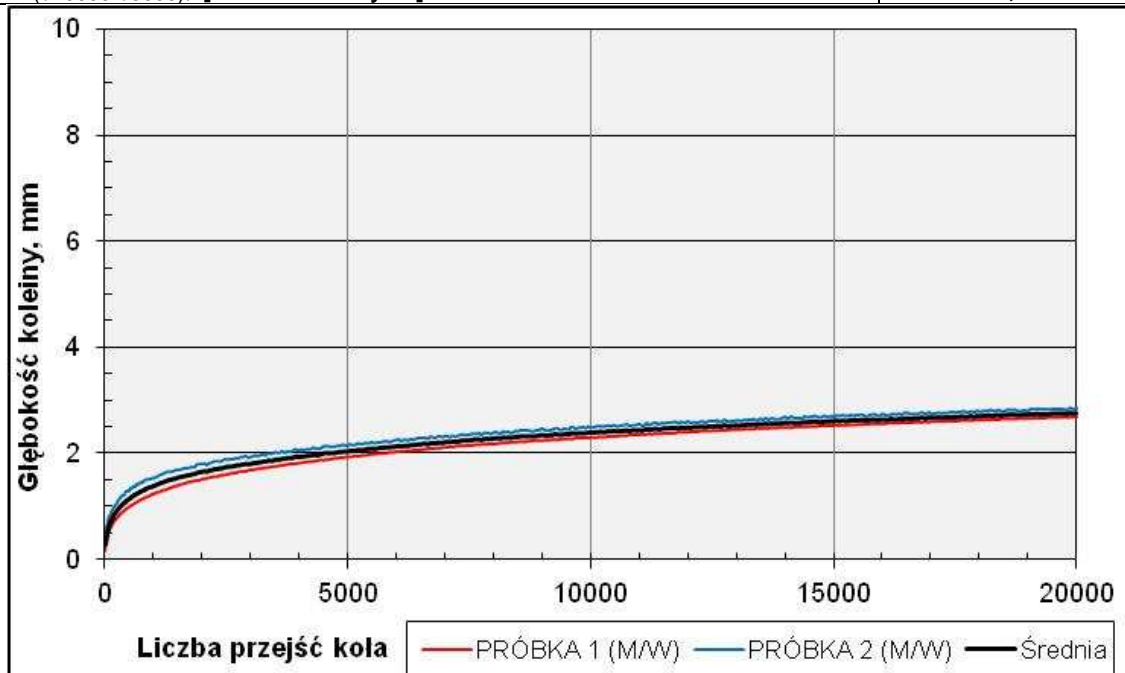
Odporność na deformacje trwałe (metoda B w powietrzu, 60°C, 10000 cykli, % (mm/mm) (wys. próbek 60,11 mm, 59,47 mm)			
Cykle (przejścia)	2500 (5000)	5000 (10000)	10000 (20000)
Właściwości			
Głębokość koleiny, mm	3,71	4,76	6,32
PRD, %	6,17	7,92	10,60
WTS _(d10000-d5000) , [mm/1000 cykli]			0,312



Rysunek 15 Przebieg badania koleinowania – mieszanka AC22 P 35/50 (W/P)

Tablica 15. Wyniki badania koleinowania w małym aparacie AC22 P 35/50 (M/W)

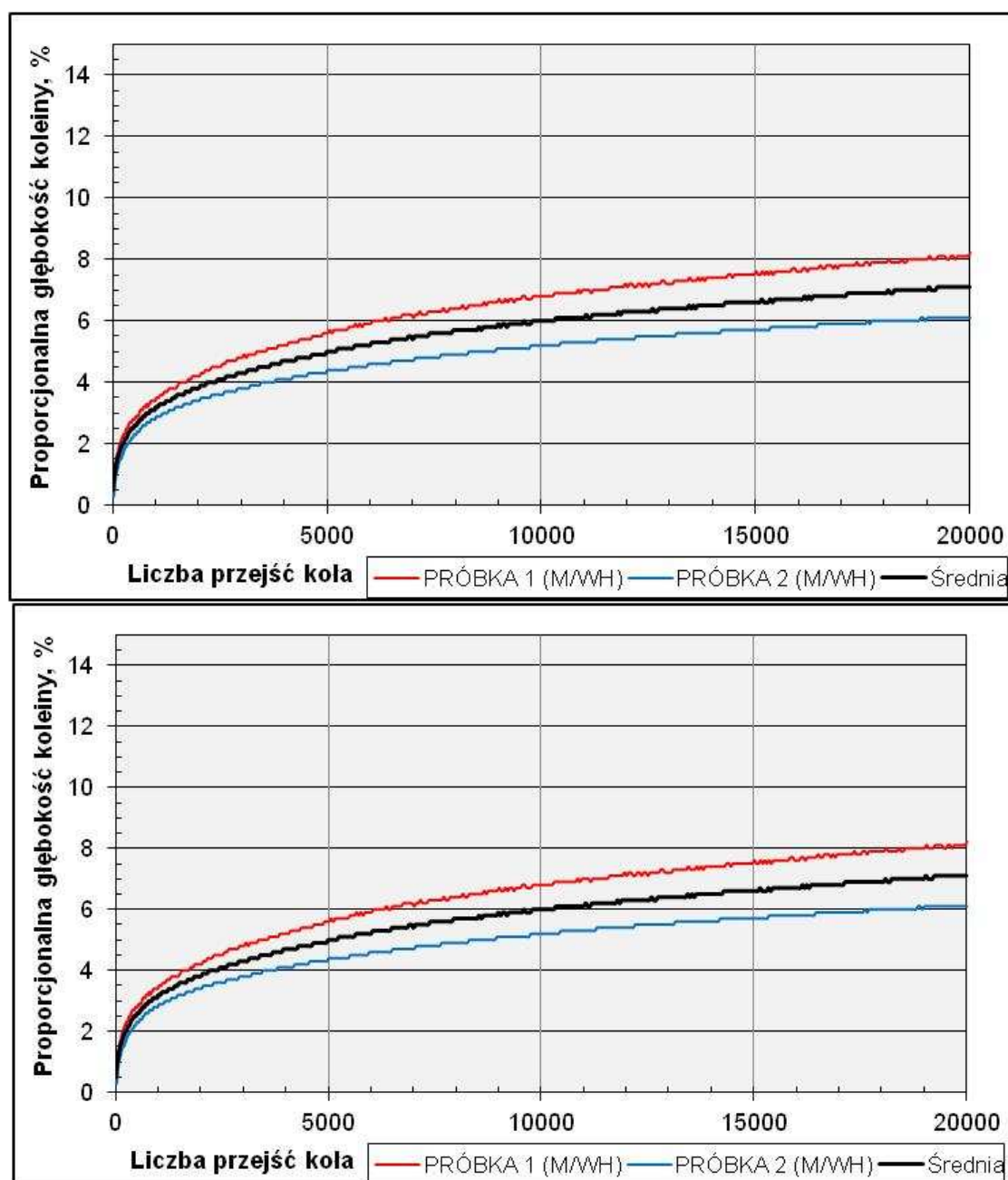
Odporność na deformacje trwałe (metoda B w powietrzu, 60°C, 10000 cykli, % (mm/mm) (wys. próbek 60,67 mm, 60,12 mm)			
Cykle (przejścia)	2500 (5000)	5000 (10000)	10000 (20000)
Właściwości			
Głębokość koleiny, mm	2,04	2,40	2,78
PRD, %	3,36	3,96	4,60
WTS _(d10000-d5000) , [mm/1000 cykli]			0,076



Rysunek 16 Przebieg badania koleinowania – mieszanka AC22 P 35/50 (M/W)

Tablica 16. Wyniki badania koleinowania w małym aparacie AC22 P 35/50 (M/WH)

Odporność na deformacje trwałe (metoda B w powietrzu, 60°C, 10000 cykli, % (mm/mm) (wys. próbek 60,23 mm, 60,14 mm)			
Cykle (przejścia)	2500 (5000)	5000 (10000)	10000 (20000)
Właściwości			
Głębokość koleiny, mm	2,98	3,60	4,29
PRD, %	4,95	5,98	7,10
WTS _(d10000-d5000) , [mm/1000 cykli]			0,138



Rysunek 17 Przebieg badania koleinowania – mieszanka AC22 P 35/50 (M/WH)